

Ü ½ " Ô î ± • î # Ý Ü " j © Ù à É Þ î ° F A Ü A " I f ' 15ð G b6ä\$Î

Development of Grooved Flat- Bar Steels for the Reaction Plates of Linear Motor Cars Ø ù (Hiroyuki Hayashi)

0[" :

Ü ½ " Ô î ± • î # Ý Ü " j © Ù à É Þ î ° † 0 4 M • S u _ > * " Ý Ñ È † 5ð È _ K œ M •
 S u b " à • î î à » 2 †] î 5 d 4 ' & k \ ' [6 ä \$ Î K S 5ð È b / 28 _ A ĩ b %
 @ È 8 " Ü A † ! Ö 6 ë } [B g M • G \ c T 7 ' \ I € Z 8 S @ > * É Û « ³ © à Ô ¹ Ý \ ! Ö
 6 ë 5ð Ô ¹ Ý b % È ' 2 ? } " Ü A g B @ • + [6 • G \ † 0 b K S G € † µ _ 4 : # Ý K
 2.0mm è V b œ î Â î Á à ç 5 † w M • 15ð @ " } € S r S) œ Š b 9 x 8 Ü " j © Ù à
 É Þ î ° † 0 4 M • S u b " Ü A • 8 ' \ " Ý Ñ È : 24Š • 8 ' † 4 : G (V _ ' ö # . K > * "
 Ü A Æ _ ' M _ " Ý Ñ † ~ 6 I O • 0 4 • / j † & ' g K S

Synopsis :

A method that permits jointing of aluminum plates and steel plates as key material for the manufacture of reaction plates for linear motor cars has been developed by Kawasaki Steel jointly with Kawasaki Heavy Industries, Ltd. Hot forming of overhang grooves, with their opening narrower than their beds, on the steel plate surface was virtually impossible. But a study using Plasticine models and hot -rolled steel models paved the way for this new method called the anchor -bonding. By applying it to commercial-scale mills, flat bars having an overhang beyond 2.0 mm have been successfully obtained. With a technology also established to control cross-sectional areas of both overhang groove and aluminum projection within proper range, the resultant uniform filling of aluminum within the overhang grooves assures the manufacture of reaction plates of yet higher bonding.

(c)JFE Steel Corporation, 2003

Development of Grooved Flat-Bar Steels for the Reaction
Plates of Linear Motor Cars

要旨

リニアモーターカー用リアクションプレートを製造するために、アルミ板を鋼板に接合するためのアンカーボルトは川崎重工業株式

Soft material

Hard material

突条部を充填し、機械的に結合させるもので、この結合力がリアク



さらにリアクションプレートには気圧がトス温度亦ルレ 該温度

3.1 最適突起形状

溝両側の突起は次の工程のロールによる圧下で溝の内面側に変形す

幅も大きくすると、溝底の部分でオーバーラップを生じている (No. 4 および No. 5)。これらの結果から、圧下前の突起の幅寸法を

る。このときの圧下は突起部のみであることから、断面全体の長手

また突起部分は平ロールで圧下されるときに溝の内外面に変形が

生じる。このことから、圧延ではなく平面歪み鍛造条件下でも近似

なる。このことから、突起形状の最適化とともに、突起部を平ロー

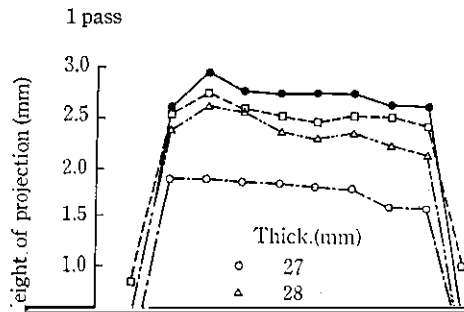
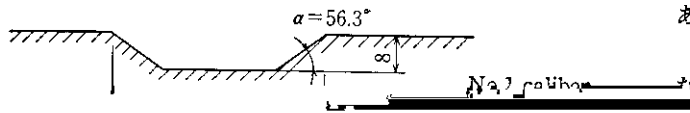


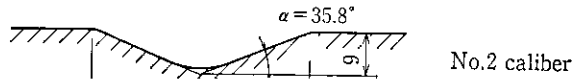
Table 2 Experimental conditions of hot rolling

Rolling mill	2 Hi rolling mill
Roll dimensions	290 ϕ mm dia., 300 mm length
Material*1	
Standard	SS 41
Dimension (mm)	34 t \times 100 W \times 250 L \times 10 H of projection 38 t \times 100 W \times 250 L \times 6 H of projection
Method of forming	① One pass of flat roll ② Two pass of flat roll



ある。

そのため実機での生産に際しては下記の点を考慮する必要がある。



(2) 幅方向端部の突起は幅方向のメタルフローを考慮し、幅方向中央部の突起以上の高さを得られること。

(3) カリバーへの誘導がよいこと。

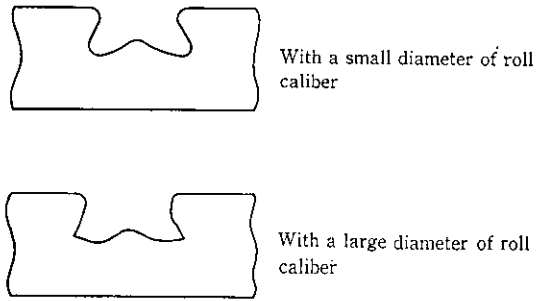


Fig. 15 The cross-section of grooved flat-bar steel formed

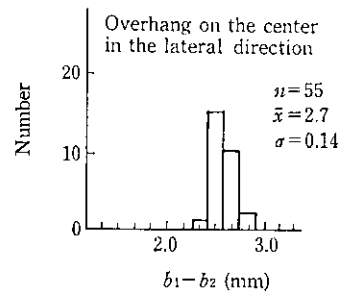
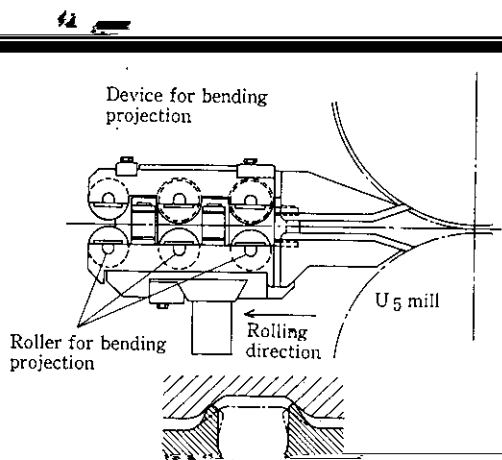
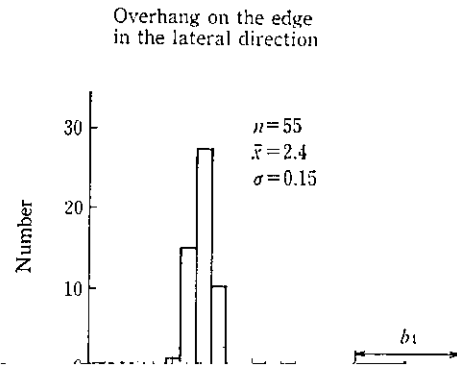


Fig. 17 Example of the quantity of overhang (b_1-b_2) of commercially produced steel flat-bars

